



طیفهای ارتجاعی و غیرارتজاعی زلزله‌های ایران

حسن مقدم، استاد/نادر فنائی، دانشجوی دکتری سازه، دانشکده مهندسی عمران، دانشگاه صنعتی شریف

۱- چکیده

رابرای شتاب، سرعت و جابه‌جایی ارائه کرد[۱]. پس از وی، در اوخر دهه ۶۰، نیومارک و هال پس از بررسی طیفسه - گانه تعداد زیادی شتابنگاشت به این نتیجه رسیدند که در نمودار سه‌گانه طیف پاسخ زلزله چند ناحیه مشخص و مجرزا وجود دارد. آنان طیف خود را با معرفی نواحی سه‌گانه ارائه نمودند [۲]. بیژن محرز همچون نیومارک و هال طیف طرح مشابهی را ارائه کرده‌است که ضرایب تشديد علاوه بر استهلاک به جنس زمین نيز بستگی دارند. وی نسبتهای $\frac{V}{A}$ و $\frac{AD}{V^2}$ را برای چهار گروه خاک ارائه کرد [۳]. در این تحقیق از ۲۷۸ شتابنگاشت زلزله تهیه شده در مرکز تحقیقات ساختمان و مسکن استفاده شده است. این شتابنگاشتها با توجه به نوع خاک در محل ثبت شتابنگاشت، تقسیم‌بندی شدند [۴]. پس از تصحیح محور و فیلتر کردن شتابنگاشتها توسط چهار فیلتر بانرم افزار PITSA برای تهیه نمودارهای سرعت و جابه‌جایی زمین انتگرال گیری و مقادیر بیشینه شتاب، سرعت و جابه‌جایی زمین محاسبه گردید [۵ و ۶]. سپس با استفاده از نرم افزار NONSPEC طیفهای ارتجاعی و غیرارتجاعی برای شتاب، شبه شتاب، سرعت، شبه سرعت و جابه‌جایی محاسبه و همپایه گردیدند. برای هر پاسخ سازه نیز

کشور ایران با قراردادشتن برنوار زلزله آلب - هیمالیا یکی از مناطق لرزه‌خیز دنیاست و هر از چندی، زلزله‌ای مهلك فاجعه‌ای بزرگ می‌آفريند. اين مسأله، ايجاب می‌کند که زلزله با حساسیتی ویژه مورد توجه قرار گيرد. برای پیشبرد تحقیقات مربوط به زلزله، تهیه طیفهای پاسخ مربوط به زلزله‌های روی داده و ارائه طیفهای طرح ارتجاعی و غیرارتجاعی ضروری می‌باشد. این تحقیق، با هدف تهیه طیفهای مذکور با استفاده از شتابنگاشتهای موجود و ارائه طیف طرح ارتجاعی و غیرارتجاعی انجام شده است. در این راستا، شتابنگاشتهایی که حداقل یک مؤلفه با بیشینه شتاب بیشتر از ۰.۱g داشتند پردازش، طیفهای ارتجاعی و غیرارتجاعی شتاب، سرعت و جابه‌جایی برای آنها محاسبه و طیفهای غیرارتجاعی حاصل با طیف آین نامه ۲۸۰۰ مقایسه شدند. نتایج این تحقیق مبنی آن است که طیف آین نامه ۲۸۰۰ برای پریودهای کوچک تا $0/3$ ثانیه جوابگو نیست و نیاز به بازنگری دارد.

کلید واژه‌ها: فیلتر کردن، طیف ارتجاعی، طیف غیرارتجاعی، ضریب میرایی، ضریب نرمی، تشديد

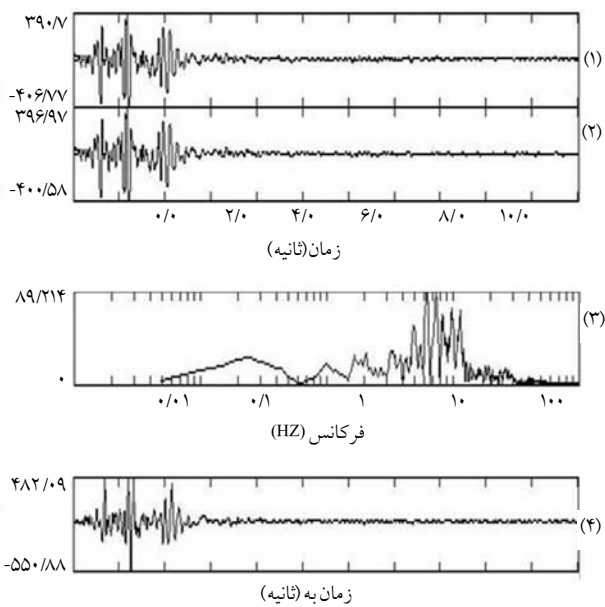
۲- مقدمه

هاوزن اولین کسی بود که در اوخر دهه ۵۰ طیف طرح زلزله

شتابنگاشت تصحیح محور شده، FFT آن رسم، دو فرکانسی که مقدار FFT در ابتدا و انتهای نمودار FFT به ازای آنها کمینه است به طور چشمی محاسبه و به عنوان دو حد فیلتر میان گذر انتخاب شده‌اند. به عنوان مثال، در شکل (۱) دیده می‌شود که به ازای فرکانس تقریبی $0/6$ هرتز، نمودار FFT دارای کمینه است (در ابتدای نمودار)؛ بنابراین $0/6$ هرتز به عنوان حد پایین فیلتر میان گذر انتخاب شده است.

در فرکانس‌های بالا اگر نتوان کمینه قابل توجهی را برای نمودار FFT تشخیص داد برای نگاشتهای ثبت شده با گام زمانی $0/02$ ثانیه توسط شتابنگارهای SMA1 فرکانس نایکوئیست 25 هرتز به عنوان حد بالای فیلتر میان گذر در نظر گرفته شده است [۸]؛ زیرا، فرکانس بالاتر از 30 هرتز قابل استفاده در مهندسی زلزله نیست.

برای شتابنگاشت 1360.001 نیز فرکانس 30 هرتز به عنوان حد بالای فیلتر میان گذر انتخاب شده است (شکل ۱).



شکل (۱): شتابنگاشت 1360.001 تحت اثر فیلتر میان گذر $0/6$ تا 30 هرتز بر مبنای FFT

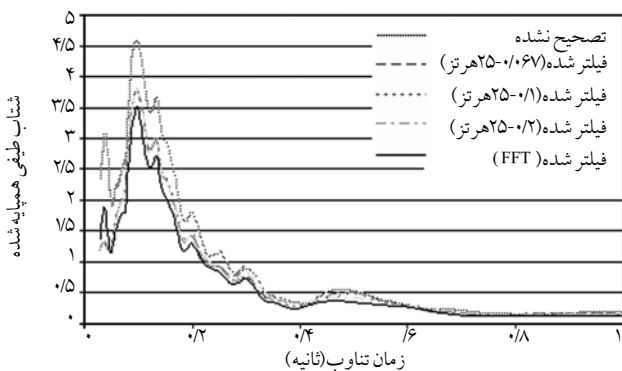
طیف تشدید میانگین از میانگین گیری بین مقادیر همپایه شده از طیفهای تشدید متناظر برای پریوودهای مختلف به دست آمد. برای تهیه طیفهای پاسخ میانگین از پوش چهار طیف متناظر چهار فیلتر استفاده شده است؛ بدین گونه که در هر پریوود، بیشینه مقدار طیفی از چهار طیف متناظر چهار فیلتر، انتخاب شده است. در نهایت، با استفاده از روش مذکور، 150 نوع طیف ارجاعی و غیر ارجاعی به دست آمد که مبنای ارائه طیفهای پیشنهادی و مقایسه با طیفهای سید و آین نامه 2800 هستند. برای مقایسه طیفهای غیر ارجاعی شتاب به دست آمده با طیف آین نامه از چهار نوع ساختمان استفاده و با ضرب طیف آین نامه در ضرایب اطمینان اعمال شده در طراحی، این مقایسه امکان‌پذیر شده است.

در این تحقیق، از 56 شتابنگاشت با فاصله زمانی $0/02$ ثانیه و 222 شتابنگاشت با فاصله زمانی $0/005$ ثانیه ثبت شده توسط دستگاههای شتابنگار SMA1 و SSA2 استفاده گردیده است. برای شتابنگاشتهایی که نوع خاک در محل ثبت نگاشت مشخص بود بسته به نوع خاک به چهار گروه سنگ مقاوم ($V_s > 750$ m/s)، سنگ نرم و هوازده و آبرفت‌های خیلی سخت ($375 \text{ m/s} < V_s < 750 \text{ m/s}$)، آبرفت سخت مقاوم ($V_s < 175 \text{ m/s}$) و آبرفت نرم ($175 \text{ m/s} < V_s < 375 \text{ m/s}$) تقسیم بندی شدند [۷]. کلیه شتابنگاشتهایی که نوع خاک در محل ثبت نگاشت مشخص نبود در گروه 5 قرار داده شدند. برای پردازش، شتابنگاشتهای ابتداء تصحیح محور و سپس با استفاده از سه فیلتر میان گذر با محدوده فرکانسی $25-0/1$ ، $25-0/2$ و $25-0/067$ هرتز فیلتر شدند. یکبار نیز FFT تمامی شتابنگاشتهای محاسبه و یک فیلتر میان گذر با دو فرکانس محاسبه شده بر مبنای FFT اعمال گردید. در حالت فیلتر کردن بر مبنای نمودار FFT پس از به دست آوردن

مقادیر فرکانس‌های به دست آمده با استفاده از روش FFT در پیوست آمده است.

۳- طیفهای ارتجاعی و غیرارتجاعی همپایه

برای کلیه شتابنگاشتهای تصحیح شده طیف پاسخ ارتجاعی و غیرارتجاعی شتاب، شبه شتاب، سرعت، شبه سرعت و جابه‌جایی محاسبه شد. کلیه طیفهای ارتجاعی برای شش میرایی $\%, 0\%, 2\%, 5\%, 7\%, 10\%$ و کلیه طیفهای غیرارتجاعی به ازای میرایی ثابت 5% برای هفت ضریب نرمی $2, 3, 4, 6, 8, 10$ و 20 به دست آمدند. طیفهای غیرارتجاعی با استفاده از دو مدل الاستیک-کاملاً پلاستیک (نظیر رفتار فولاد) و همچنین مدل کاهنده سختی (نظیر رفتار بتن) به دست آمدند. برای بررسی تأثیر نحوه فیلترکردن بر طیفهای پاسخ بین طیفهای ارتجاعی و غیرارتجاعی شتابنگاشتهای تصحیح نشده و تصحیح شده (توسط چهار فیلتر) در چندین زلزله مقایسه‌ای انجام شده است که نتایج مربوط به مؤلفه افقی قوی شتابنگاشت زلزله منجیل (نگاشت ۱۳۶۰.۰۰۱) برای نمونه در شکل‌های (۲) و (۳) آورده شده است.



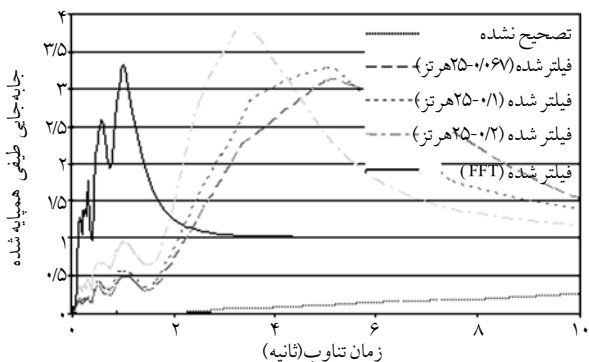
شکل (۲): مقایسه طیفهای ارتجاعی همپایه شتاب برای نگاشت ۱۳۶۰.۰۰۱ تحت اثر چهار فیلتر اعمال شده

در این طیفهای ارتجاعی و غیرارتجاعی مقدار میرایی 5% و در طیفهای غیرارتجاعی ضریب نرمی برابر 4 در نظر گرفته شده است. با توجه به این شکلها دیده می‌شود که طیفهای

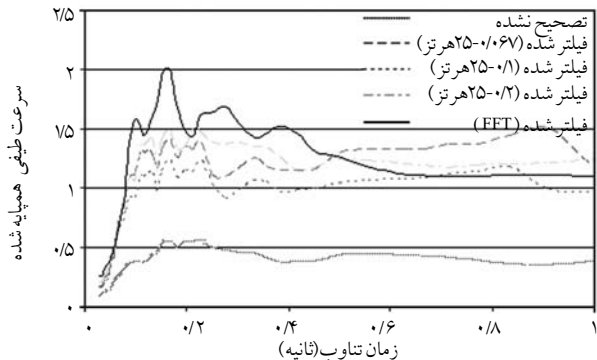
شکل (۱) نشان می‌دهد که اعمال تصحیح محور، موجب تغییر چندانی در مقادیر اکسترم شتابنگاشت نمی‌شود؛ ولی فیلتر کردن موجب تغییرات قابل توجهی در بیشینه شتاب زمین می‌شود. با انتگرال‌گیری از شتابنگاشتهای تصحیح شده، نمودار سرعت زمین به دست آمد و با انتگرال‌گیری از نمودار سرعت زمین، نمودار جابه‌جایی زمین به دست آمده است. نمودار مطلوب برای سرعت و جابه‌جایی زمین آن است که در آغاز و پایان زلزله، سرعت و جابه‌جایی زمین (جز در ایستگاه‌های خیلی نزدیک به مرکز زلزله) برابر صفر باشد که برای شتابنگاشتهای فیلتر شده بر مبنای FFT این شروط با دقت زیادی ارضا شدند. برای همپایه کردن طیفهای پاسخ و تعیین نسبتهای حرکت زمین، مقادیر بیشینه تصحیح شده شتاب، سرعت و جابه‌جایی استخراج و دیده شد که مقدار جابه‌جایی بیشینه زمین حساسیت بسیار بیشتری نسبت به مقادیر شتاب و سرعت بیشینه زمین نسبت به فیلترکردن از خود نشان می‌دهد (جدول ۱).

جدول (۱): مقایسه مقادیر بیشینه حرکت زمین متناظر فیلترهای مختلف در زلزله منجیل

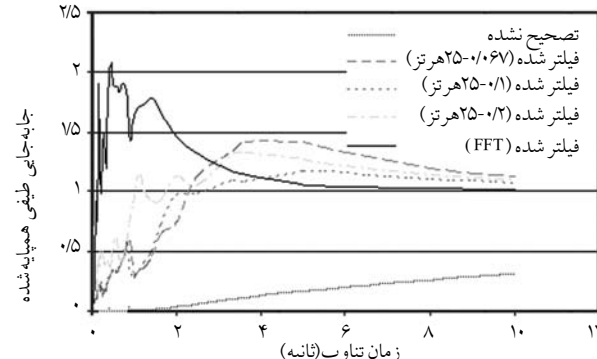
| نام نگاشت | نوع فیلتر کردن (HZ) | بیشینه شتاب | بیشینه سرعت | بیشینه جابه‌جایی |
|-----------|---------------------|-------------|-------------|------------------|
| ۱۳۶۰.۰۰۱ | ۰/۰۶۷-۲۵ | ۵۰/۷/۳۰ | ۱۰/۹۲۷ | ۴/۶۳۸۶ |
| | ۰/۱-۲۵ | ۵۰/۵/۲۳ | ۱۲/۵۹۷ | ۳/۷۷۸۴ |
| | ۰/۲-۲۵ | ۵۰/۶/۰۵ | ۱۰/۱۳۳ | ۲/۰۰۸۸ |
| | FFT(۰/۶-۳۰) | ۵۵/۰/۸۸ | ۹/۰۱۹ | ۰/۵۲۴۸ |
| | ۰/۰۶۷-۲۵ | ۴۱/۷/۰۴ | ۱۰/۲۶۲ | ۴/۴۰۶۸ |
| | ۰/۱-۲۵ | ۴۱/۰/۶۶ | ۱۰/۶۷۹ | ۳/۲۷۸۵ |
| | ۰/۲-۲۵ | ۳۹/۱/۰۶ | ۸/۹۸ | ۱/۶۳۰۱ |
| | FFT(۰/۶-۳۰) | ۳۷/۷/۳۱ | ۶/۶۳۴ | ۰/۳۵۲۵ |
| ۱۳۶۰.۰۰۲ | ۰/۰۶۷-۲۵ | ۱۹/۳/۲۵ | ۵/۳۸۲ | ۳/۳۸۲۱ |
| | ۰/۱-۲۵ | ۱۹/۲/۲۹ | ۵/۴۶۹ | ۲/۶۳۰۵ |
| | ۰/۲-۲۵ | ۱۹/۳/۴۵ | ۳/۲۴۶ | ۱/۳۵۲۶ |
| | FFT(۰/۹-۳۰) | ۱۹/۲/۸۳ | ۲/۴۹۶ | ۰/۲۰۶۵ |
| | | | | |
| ۱۳۶۰.۰۰۳ | | | | |
| | | | | |



شکل(۵): مقایسه طیفهای ارجاعی همپایی جابه جایی برای نگاشت ۱۳۶۰.۰۰۱ تحت اثر چهار فیلتر اعمال شده

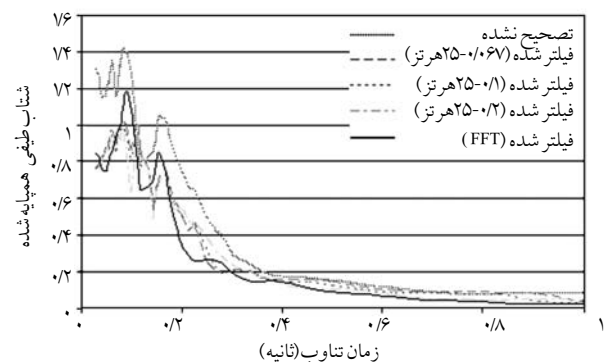


شکل(۶): مقایسه طیفهای غیرارجاعی همپایی سرعت برای نگاشت ۱۳۶۰.۰۰۱ تحت اثر چهار فیلتر اعمال شده



شکل(۷): مقایسه طیفهای غیرارجاعی همپایی جابه جایی برای نگاشت ۱۳۶۰.۰۰۱ تحت اثر چهار فیلتر اعمال شده

میان گذر عمدتاً بین ۲۵ هرتز تا ۳۰ هرتز متغیر بوده است؛ ولی در فیلترهای دیگر، فرکانس بالا ثابت و برابر ۲۵ هرتز بوده است.

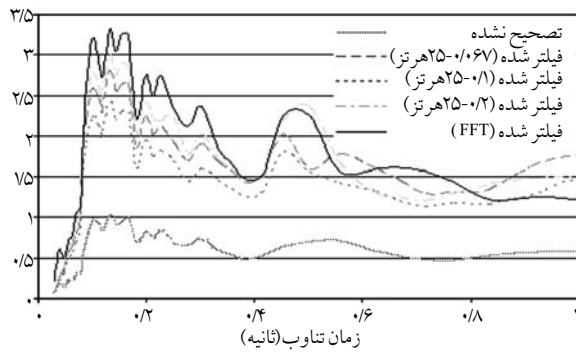


شکل(۳): مقایسه طیفهای غیرارجاعی همپایی شتاب برای نگاشت ۱۳۶۰.۰۰۱ تحت اثر چهار فیلتر اعمال شده

ارجاعی و غیرارجاعی شتاب مربوط به فیلترهای مختلف به یکدیگر نزدیک هستند.

در مورد طیفهای سرعت و جابه جایی که نسبت به طیف شتاب اهمیت کمتری دارند، مقایسه‌ای بین این طیفها در دو حالت ارجاعی و غیرارجاعی انجام شده که نتایج مربوط به مؤلفه افقی قوی شتاب‌نگاشت زلزله منجیل (نگاشت ۱۳۶۰.۰۰۱) در شکلهای (۴) تا (۷) آورده شده است.

با توجه به این شکلها نتیجه می‌شود که برخلاف طیفهای شتاب، تأثیر فیلترهای مختلف اعمال شده بر طیفهای سرعت و جابه جایی بیشتر می‌باشد. این بدان علت است که در سه فیلتر ثابت اعمال شده، فرکانس پایین فیلتر میان گذر تغییر کرده است و فرکانس‌های پایین که معادل پریودهای بلند می‌باشند بر سرعت و جابه جایی مؤثرند؛ اما بر شتاب تأثیری ندارند. در فیلتر اعمال شده بر مبنای FFT فرکانس بالای فیلتر



شکل(۴): مقایسه طیفهای ارجاعی همپایی سرعت برای نگاشت ۱۳۶۰.۰۰۱ تحت اثر چهار فیلتر اعمال شده

۴- تعیین ضرایب تشدید میانگین و فوق میانگین

مراحل تعیین ضرایب تشدید عبارتند از:

۱- پس از تصحیح شتاب‌نگاشتها مقادیر بیشینه شتاب (A)،

شده است. این روش برای تعیین ضرایب تشدید میانگین و فوق میانگین سرعت و جابه‌جایی با استفاده از طیفهای همپایه شبیه سرعت و جابه‌جایی نیز انجام شده است. در این مقاله، برای به دست آوردن ضرایب تشدید، مانند محرز فرض گردیده است که حد پایین منطقه شتاب ثابت برای مؤلفه‌های افقی $125/0$ ثانیه (معادل 8 هرتز) و برای مؤلفه‌های قائم $1/0$ ثانیه (معادل 10 هرتز) باشد [۱]. دو پریود دیگر که یکی مربوط به مرز نواحی شتاب ثابت و سرعت ثابت و دیگری مربوط به مرز نواحی سرعت ثابت و جابه‌جایی ثابت است، با استفاده از سعی و خطا و استفاده از روابط بین شبیه شتاب، شبیه سرعت و جابه‌جایی به دست آمدند که در مرحله هفتم نحوه محاسبه آنها شرح داده شده است.

۶- مقادیر طیفهای میانگین و فوق میانگین شتاب، سرعت و جابه‌جایی به ترتیب از ضرب ضرایب تشدید میانگین و فوق میانگین متاظر در مقدار بیشینه شتاب، سرعت و جابه‌جایی زمین به دست آمدند.

۷- با رسم طیف پاسخ سه محوری و محاسبه محل تقاطع طیفهای شتاب، سرعت و جابه‌جایی، مقادیر جدیدی برای حدود ناحیه میانی (ناحیه سرعت ثابت) به دست می‌آید. با استفاده از روابط (۳) و (۴)، پریودهای مربوط به ناحیه سرعت ثابت محاسبه می‌شود:

$$S_a = \dot{u} S_v \rightarrow T_1 = 2\delta \frac{S_v}{S_a} \quad (3)$$

$$S_v = \dot{u} S_d \rightarrow T_2 = 2\delta \frac{S_d}{S_v} \quad (4)$$

۸- با در نظر گرفتن پریودهای جدید به دست آمده در مرحله قبل، مراحل ۵ تا ۷ مجدداً تکرار و

سرعت (V) و جابه‌جایی زمین (D) برای سه مؤلفه زلزله محاسبه شدند.

۲- مقادیر $\frac{AD}{V^2}$ و $\frac{V}{A}$ برای هر شتابنگاشت محاسبه شد.

۳- در گروههای مختلف خاک برای مؤلفه‌های قوی، ضعیف و قائم، میانگین و فوق میانگین و $\frac{AD}{V^2}$ محاسبه شد.

۴- در هر گروه خاک با فرض شتاب واحد برای زمین ($1.0g = 1000 \text{ cm/S}^2$) با استفاده از مقادیر میانگین و فوق میانگین و $\frac{V}{A}$ سرعت و جابه‌جایی زمین با روابط (۱) و (۲) محاسبه شدند:

$$V = \left(\frac{V}{A} \right)_{ave} \times A = \left(\frac{V}{A} \right)_{ave} \times 1000 \quad (1)$$

$$D = A \times \left(\frac{V}{A} \right)_{ave}^2 \times \left(\frac{AD}{V^2} \right)_{ave} = 1000 \times \left(\frac{V}{A} \right)_{ave}^2 \times \left(\frac{AD}{V^2} \right)_{ave} \quad (2)$$

۵- مشابه روش محرز در سه ناحیه شتاب (۲ تا ۸ هرتز برای مؤلفه‌های افقی و ۲ تا 10 هرتز برای مؤلفه قائم)، سرعت ($0/2$ تا 2 هرتز) و جابه‌جایی (کمتر از $2/0$ هرتز)، ضرایب تشدید میانگین و فوق میانگین با استفاده از طیفهای همپایه مربوط به یک گروه مشابه محاسبه شد و برای ۱۵ گروه شتابنگاشت (مؤلفه‌های قوی، ضعیف و قائم در ۵ گروه خاک) این ضرایب به دست آمد [۱]. به عنوان مثال، در محدوده شتاب ثابت برای همه شتابنگاشتهای همپایه، ضریب تشدید میانگین طیف شبیه شتاب به دست آمد و بین ضرایب تشدید میانگین شتابنگاشتهای مختلف، میانگین گیری انجام شد تا ضریب تشدید میانگین کل به دست آید. با محاسبه انحراف معیار ضرایب تشدید میانگین و افزودن آن به ضریب تشدید میانگین کل، ضریب تشدید فوق میانگین برای شتاب محاسبه

جدولهای (۶) و (۷) و برای حالت غیرارتاجاعی در جدولهای (۸) و (۹) آورده شده‌اند. با مقایسه جدول

جدول (۲): نسبتهای $\frac{AD}{V^2}$ و $\frac{V}{A}$ برای مؤلفه‌های قوی، ضعیف و قائم زلزله در زمینهای مختلف براساس آمار ۵۰٪ و ۴۰٪ [به نقل از بیان محرز]

| D/A(cm/g) | AD/V ² | | V/A(cm/sec)/g | مؤلفه زلزله | نوع زمین |
|------------|-------------------|------------|---------------|----------------|-------------------------------------|
| درصد آماری | درصد آماری | درصد آماری | درصد آماری | | |
| ۵۰٪ | ۸۴٪ | ۵۰٪ | ۸۴٪ | قوی | سنگ |
| ۲۰ | ۱۱ | ۵/۳ | ۹۷ | | |
| ۲۵ | ۱۱/۲ | ۵/۲ | ۱۱۲ | ضعیف | |
| ۳۰ | ۱۱/۸ | ۶/۱ | ۱۱۴ | قائم | آبرفت کمتر از ۹ متر بر بستر سنگی |
| ۲۸ | ۷/۷ | ۴/۵ | ۱۴۵ | قوی | |
| ۴۳ | ۸/۲ | ۴/۳ | ۱۵۷ | ضعیف | |
| ۴۸ | ۱۳/۳ | ۶/۸ | ۱۲۵ | قائم | آبرفت ۹ تا ۱۶ متر بر بستر سنگی |
| ۳۰ | ۷/۸ | ۵/۱ | ۱۱۷ | قوی | |
| ۳۳ | ۶/۴ | ۳/۸ | ۱۴۷ | ضعیف | |
| ۴۶ | ۱۳/۷ | ۷/۶ | ۱۱۷ | قائم | آبرفت عمیق |
| ۵۶ | ۶ | ۳/۹ | ۱۷۵ | قوی | |
| ۷۴ | ۴/۹ | ۲/۵ | ۲۱۶ | ضعیف | |
| ۶۹ | ۷ | ۴/۶ | ۱۷۸ | قائم | |

جدول (۳): نسبتهای $\frac{AD}{V^2}$ و $\frac{V}{A}$ برای مؤلفه‌های قوی، ضعیف و قائم در خاکهای مختلف

| DD/A(cm/g) | AD/V ² | | V/A(cm/sec)/g | مؤلفه زلزله | نوع زمین |
|------------|-------------------|------------|---------------|----------------|-------------|
| درصد آماری | درصد آماری | درصد آماری | درصد آماری | | |
| ۵۰٪ | ۸۴٪ | ۵۰٪ | ۸۴٪ | قوی | گروه ۱ |
| ۷ | ۵/۷ | ۳/۳ | ۶۱/۶ | | |
| ۵/۱ | ۵/۵ | ۳/۲ | ۵۰/۷ | ضعیف | |
| ۳/۷ | ۶/۲ | ۴/۲ | ۴۰/۳ | قائم | گروه ۲ |
| ۳ | ۴/۸ | ۲/۵ | ۴۳/۴ | قوی | |
| ۲ | ۴ | ۲/۶ | ۳۴/۹ | ضعیف | |
| ۲/۱ | ۵/۹ | ۴/۴ | ۲۶/۸ | قائم | گروه ۳ |
| ۹/۳ | ۴/۹ | ۳/۱ | ۷۱/۶ | قوی | |
| ۱۴/۶ | ۵/۸ | ۳/۶ | ۸۸/۹ | ضعیف | |
| ۸/۳ | ۶/۴ | ۴/۶ | ۵۵/۸ | قائم | گروه ۴ |
| ۱۸/۱ | ۵ | ۳/۲ | ۱۰۷/۹ | قوی | |
| ۹/۹ | ۴/۲ | ۲/۷ | ۹۰/۵ | ضعیف | |
| ۱۸/۲ | ۵ | ۳/۱ | ۱۰۸/۶ | قائم | گروه ۵ |
| ۱۲/۳ | ۴/۹ | ۳ | ۷۹/۸ | قوی | |
| ۱۰ | ۵/۶ | ۳/۳ | ۶۷/۴ | ضعیف | |
| ۸ | ۶/۴ | ۳/۹ | ۶۷/۱ | قائم | |

میانگین گیری برپایه پریودهای به دست آمده انجام شده است. این روند آنقدر تکرار شده تا اینکه پریودهای به دست آمده همگرا و بر مقادیر مفروض منطبق شده‌اند. در این حالت، ضرایب تشدید میانگین و فوق میانگین شتاب، سرعت و جابه‌جایی برای شتاب زمین ۱.۰g محاسبه شده است. با فیلترکردن بر مبنای FFT نمودارهای سرعت و جابه‌جایی زمین دارای مقدار صفر در انتهای زلزله هستند؛ در صورتی که در بعضی از فیلترهای اعمال شده، سرعت و جابه‌جایی زمین در انتهای زلزله صفر نیستند. علاوه بر آن، چون با فیلترکردن بر مبنای FFT، واریانس پارامترهای $\frac{AD}{V^2}$ و $\frac{V}{A}$ کمتر بود و این فیلترکردن، فیلترکردن مناسبی بود، برای تهیه جدولی مشابه با جدول محرز (جدول ۲) از شتابنگاشتها تصحیح شده با همین فیلتر استفاده شده است. با توجه به جدول (۳) نتیجه می‌شود که پارامترهای $\frac{AD}{V^2}$ برای کشور ایران کمتر از مقادیر نظری در جدول محرز به دست آمده است. حدودی که با استفاده از سعی و خطاب برای نواحی شتاب ثابت، سرعت ثابت و جابه‌جایی ثابت به دست آمده‌اند برای حالت ارتاجاعی در جدول (۴) و برای حالت غیرارتاجاعی در جدول (۵) آورده شده‌اند. با توجه به این جدولها نتیجه می‌شود که این نواحی سه‌گانه، تفاوت بسیار زیادی با مناطق پیشنهادی محرز و نیومارک دارند و با توجه به پراکندگی حدود مناطق، به نظر می‌رسد که چنین مناطقی در واقع وجود ندارند و فقط برای کارهای آماری فرض گردیده‌اند. ضرایب تشدید میانگین و فوق میانگین در حالت ارتاجاعی در

است و برای طیفهای غیرارتجاعی نیز دیده شد که در ضرایب نرمی کم، اثر ضریب نرمی محسوس تر است. علاوه بر آن دیده شد که برخلاف حالت ارجاعی که طیفهای شتاب و شبه شتاب به یکدیگر بسیار نزدیک هستند، در حالت غیرارتجاعی مقدار شبه شتاب بزرگتر از مقدار شتاب می باشد. در طیفهای غیرارتجاعی شتاب در حالت میرایی ثابت، با افزایش ضریب نرمی مقدار طیفهای غیرارتجاعی کاهش می یابد و در پریودهای کوچک به سمت یک همگرا نمی شود. با توجه به طیفهای غیرارتجاعی شتاب به دست آمده دیده شد که تأثیر عمده افزایش ضریب نرمی در ناحیه پریودهای کوچک و متوسط بوده و از پریود حدود $1/5$ ثانیه به بعد افزایش ضریب نرمی تأثیری ندارد. برای طیفهای غیرارتجاعی تشدید سرعت نیز دیده شد که بیشترین تأثیر کاهنده ضریب نرمی در ناحیه پریودهای متوسط است و ضریب نرمی تأثیری بر مقادیر این طیفها در محدوده پریودهای زیر $1/0$ ثانیه ندارد. در این طیفهای غیرارتجاعی تشدید، سرعت همگرا شدن به یک با سرعت بیشتری نسبت به طیفهای غیرارتجاعی تشدید جابه جایی صورت می گیرد.

مقایسه بین طیفهای ارجاعی و غیرارتجاعی تشدید شتاب نتیجه می دهد که برخلاف طیفهای ارجاعی تشدید شتاب که در پریودهای کوچک به سمت یک میل می کنند، طیفهای غیرارتجاعی تشدید شتاب در پریودهای کوچک مقداری کوچکتر از یک دارند و هر چه ضریب نرمی افزایش یابد، این طیفها پایین تر نیز می آیند.

۶- مقایسه رفتار انواع خاکها

در مقایسه ای که بین طیفهای ارجاعی و غیرارتجاعی تشدید شتاب صورت گرفت دیده شد که رفتار خاکهای نوع ۱ و ۲

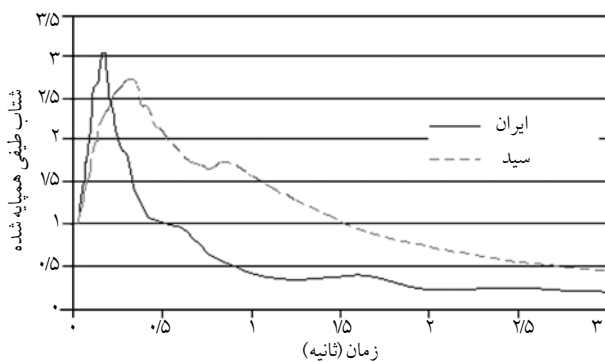
ضرایب تشدید ارجاعی فوق میانگین به دست آمده (جدول ۷) با جدول ضرایب تشدید فوق میانگین محرز چنین نتیجه می شود که مقادیر شتاب به دست آمده برای کشور ایران در حدود مقادیر شتاب جدول محرز می باشند؛ ولی مقادیر سرعت کوچکتر از مقادیر نظیر جدول محرز (جدول ۲) هستند.

۵- تهیه طیفهای پاسخ میانگین

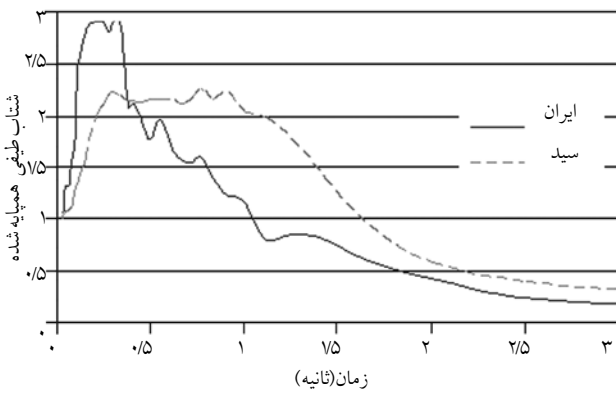
طیف میانگین برای یک پاسخ سازه از میانگین گیری بین مقادیر هم پایه شده از طیفهای تشدید متناظر برای پریودهای مختلف به دست آمده است و برای اینکه داده های فاقد ارزش وارد میانگین گیری نشوند به نکات زیر توجه شده است:

- ۱- طیفهای تشدید شتاب و شبه شتاب باید در پریودهای کوچک به سمت یک میل کنند.
- ۲- طیفهای تشدید سرعت و جابه جایی باید در پریودهای بزرگ به سمت یک میل کنند.

توجه به این نکات باعث خارج شدن تعدادی از طیفهای نامناسب شد و دقیق نتایج را بسیار زیاد کرد. برای تهیه طیفهای پاسخ میانگین از پوش چهار طیف پاسخ مربوط به چهار فیلتر استفاده شده است؛ بدین صورت که در هر پریود، بیشینه مقدار طیفی از چهار طیف متناظر چهار فیلتر انتخاب شده است. طیفهای میانگین شتاب به دست آمده از فیلترهای مختلف به یکدیگر بسیار نزدیک هستند و استفاده از پوش چهار طیف پاسخ شتاب، خطایی ایجاد نمی کند؛ ولی برای طیفهای پاسخ دیگر استفاده از پوش طیفها مقداری محافظه کارانه و درجهت اطمینان می باشد. در نهایت با استفاده از روش مذکور، ۱۵۰ نوع طیف ارجاعی و غیرارتجاعی به دست آمد. با بررسی طیفهای ارجاعی دیده شد که در میرایی های کم، اثر میرایی محسوس تر



شکل(۱۰): مقایسه بین طیف ارتجاعی تشدید شتاب ایران و طیف متناظر سید برای مؤلفه افقی قوی خاک نوع ۴



شکل(۱۱): مقایسه بین طیف ارتجاعی تشدید شتاب ایران و طیف متناظر سید برای مؤلفه افقی قوی خاک نوع ۴

با توجه به این شکلها، نتیجه می‌شود که طیفهای ایران بجز در گروه دوم خاک، در پریودهای کوچکتر، مقدار اوج بیشتری نسبت به طیفهای متناظر سید دارند و از پریود حدود ۰/۳ ثانیه به بعد طیفهای ارتجاعی تشدید شتاب ایران پایین‌تر از طیفهای سید هستند و برخلاف طیفهای ارتجاعی تشدید شتاب سید که در پریودهای بالا به سمت صفر میل نمی‌کنند، طیفهای ایران تقریباً از پریود ۲ ثانیه به بعد به صفر میل کرده و مقدار ناچیزی دارند.

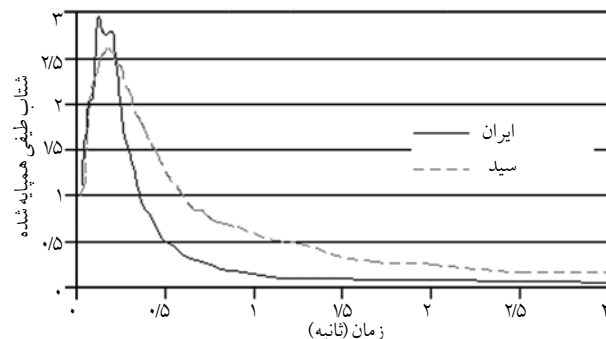
۸- مقایسه طیفهای غیرارتجاعی تشدید شتاب حاصل با طیف آیین نامه زلزله ایران

آیین نامه زلزله ایران برای محاسبه حداقل برش پایه روابط

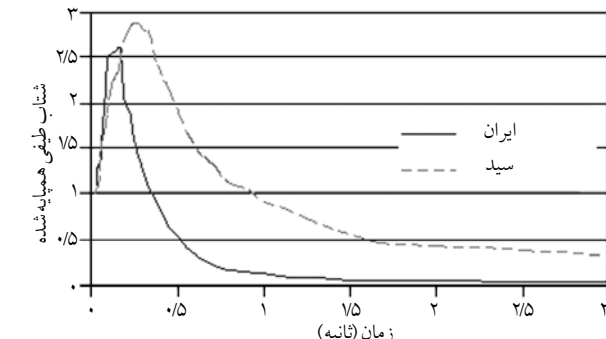
شبیه و طیفهای شتاب ارتجاعی و غیرارتجاعی بسیار به یکدیگر نزدیک هستند. همچنین دیده شد که خاک نوع ۴ متفاوت‌ترین طیف شتاب (و طیفهای دیگر) نسبت به سایر خاکها را دارد و برای طیف شتاب بویژه در راستای قائم در هر دو حالت ارتجاعی و غیرارتجاعی مقادیر بیشتری نسبت به سایر خاکها به دست می‌دهد. از پریود حدود ۰/۴ ثانیه به بعد طیف شتاب خاک نوع ۴ بالاتر از طیف شتاب خاک نوع ۳ و آن هم بالاتر از طیف شتاب خاکهای نوع ۱ و ۲ قرار می‌گیرد.

۷- مقایسه طیفهای ارتجاعی تشدید شتاب با طیفهای سید

طیفهای ارتجاعی تشدید شتاب مربوط به مؤلفه قوی برای خاکهای نوع ۱ تا ۴ با طیفهای ارتجاعی تشدید شتاب سید در شکل‌های (۸) تا (۱۱) مقایسه شده‌اند.



شکل (۸): مقایسه بین طیف ارتجاعی تشدید شتاب ایران و طیف متناظر سید برای مؤلفه افقی قوی خاک نوع ۱



شکل (۹): مقایسه بین طیف ارتجاعی تشدید شتاب ایران و طیف متناظر سید برای مؤلفه افقی قوی خاک نوع ۲

ب) قاب خمی فولادی معمولی ($R=6$)

در این نوع سازه، مقاومت خمی تنها عامل مقاومت در برابر بارهای جانبی و زلزله می‌باشد. پارامترهای طراحی در این حالت مشابه حالت قبل است بجز اینکه باید ضریب شکل مقاطع I شکل تیر و ستون که حدود $1/13$ می‌باشد در نظر گرفته شود؛ بنابراین:

$$F.S. = \frac{1.13}{0.6 \times 1.33} = 1.4125 \quad (8)$$

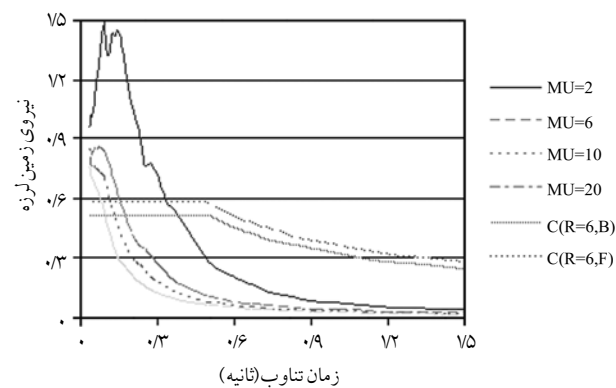
پ و ت) قاب بتني معمولی ($R=5$) و قاب خمی بتني متوسط به همراه دیوار برشی ($R=9$)

در این نوع سازه‌ها از طراحی به روش حدی توسط رابطه (۹) استفاده می‌شود؛ بنابراین ضریب اطمینان برابر $1/4$ می‌باشد:

$$U = 1.05D + 1.28L + 1.4E \rightarrow F.S. = 1.4 \quad (9)$$

در رابطه (۹)، D، L و E به ترتیب مقادیر بارهای مرده، زنده و زلزله می‌باشند.

با ضرب کردن طیفهای آئین نامه برای ۴ چهار نوع خاک در ضرایب اطمینان به دست آمده نظیر چهار نوع ساختمان مقایسه با طیفهای غیرارتجاعی تشدید شتاب متناظر ضرایب نرمی متفاوت امکان‌پذیر است. این مقایسه برای سازه‌های فولادی و بتني در خاک نوع ۲ در شکلهای (۱۲) و (۱۳) نشان داده شده است.



شکل (۱۲): مقایسه بین طیف غیرارتجاعی تشدید شتاب حاصل و طیف متناظر آئین نامه برای سازه فولادی در خاک نوع ۲

: [۷] (۵) و (۶) را پیشنهاد می‌کند]

$$V = CW = \left(\frac{ABI}{R} \right) W \quad (5)$$

$$B = 2.5 \left(\frac{T_0}{T} \right)^{2/3} \leq 2.5 \quad (6)$$

در رابطه (۵)، A، شتاب مبنای طرح (نسبت شتاب زلزله به شتاب ثقل g)، B، ضریب بازتاب، I، ضریب اهمیت و R، ضریب رفتار ساختمان می‌باشد. در رابطه (۶) نیز منظور از T، پریود اصلی ارتعاش سازه و T_0 پریود خاک است که برای خاکهای انواع ۱ تا ۴ به ترتیب برابر $4/0.5$ ، 0.7 و 1 ثانیه می‌باشد [۷]. با توجه به اینکه طیفهای شتاب غیرارتجاعی به دست آمده با شتاب ۱.0g همپایی شده‌اند ضریب A برابر واحد فرض گردید و ضریب اهمیت سازه با در نظر گرفتن اهمیت متوسط برای آن، یک فرض شد. برای مقایسه طیفهای غیرارتجاعی به دست آمده با طیف آئین نامه باید طیف آئین نامه را با ضرب کردن در ضرایب اطمینان اعمال شده در طراحی، قابل قیاس با طیف شتاب حاصل از طیفهای غیرارتجاعی شتاب کرد. در ادامه ضرایب اطمینان اعمال شده در طراحی برای چهار نوع ساختمان متداول به دست آمده‌اند.

الف) قاب ساختمانی ساده با مهاربندی هم محور فولادی ($R=6$)

در این نوع سازه، بادبندها تنها عامل مقاومت در برابر بارهای جانبی و زلزله می‌باشند و در طراحی بادبندها تنش مجاز طراحی برابر 60 درصد تنش تسلیم فولاد در نظر گرفته می‌شود. علاوه بر آن، برای زلزله 33 درصد افزایش در تنش مجاز طراحی در نظر گرفته می‌شود؛ بنابراین در این حالت ضریب اطمینان برابر است با:

$$F.S. = \frac{1}{0.6 \times 1.33} = 1.25 \quad (7)$$

دارد؛ در صورتی که همگرایی طیف آئین نامه به صفر بسیار کم است و از پریود حدود $1/35$ ثانیه به بالا طیف آئین نامه محافظه کارانه است. با توجه به محاسبات انجام شده در قبل نتیجه می شود که ضرایب اطمینان مورد استفاده در طراحی نزدیک به هم بوده و در فاصله $1/25$ تا $1/4$ می باشد؛ در صورتی که ضرایب رفتار R بسیار متنوع است (از $R=4$ برای دیوارهای برشی با مصالح بنایی مسلح تا $R=11$ برای قاب خمشی ویژه تغییر می کند). به همین علت، طراحی براساس آئین نامه برای سازه های با ضریب رفتار متوسط و بزرگ اصلاً جوابگو نیست و برای حل این مسئله به دو صورت می توان عمل نمود:

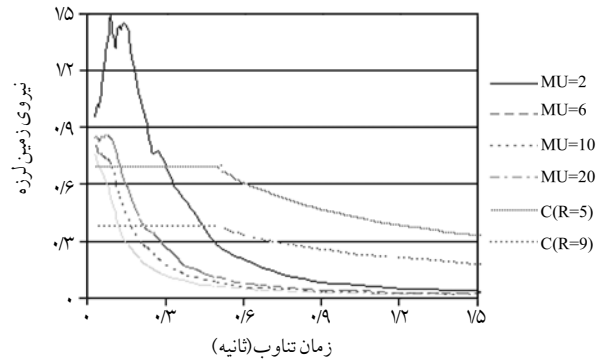
- ۱- در طیف آئین نامه مقدار تشدید شتاب در ناحیه شتاب ثابت آئین نامه افزایش یابد.
- ۲- در ضرایب رفتار R تجدید نظر شده و این ضرایب کاهش یابند. البته در این تجدید نظر باید اثر مقاومت افزون لحاظ شود.

به نظر می آید که ساختمانهای یک تاسه طبقه (نظیر پریود $1/3$ ثانیه) که مطابق ضوابط آئین نامه زلزله ایران طراحی شده اند، اینمی لازم را در برابر زلزله ندارند.

۹- نتیجه گیری

اهم نتایج حاصل از این تحقیق عبارتند از:

- ۱- مناطقی که می توان شتاب، سرعت و جابه جایی را در آنها ثابت فرض نمود، تفاوت بسیار زیادی با مناطق پیشنهادی محرز و نیومارک دارند؛ هر چند که با توجه به نتایج به دست آمده به نظر می رسد که چنین مناطقی وجود ندارند و برای محاسبات آماری فرض گردیده اند.
- ۲- مقادیر شتاب طرح برای کشور ایران در حدود مقادیر شتاب جدول محرز (جدول ۲) می باشد؛ ولی مقادیر



شکل(۱۳): مقایسه بین طیف غیرارتجاعی تشدید شتاب حاصل و طیف متناظر آئین نامه برای سازه بتنی درخاک نوع ۲ از مقایسه همه طیفها مشخص می شود که اگر طول ناحیه شتاب ثابت در طیفهای آئین نامه حدود $1/3$ ثانیه باشد، انطباق بهتری با طیفهای غیرارتجاعی تشدید شتاب حاصل می شود.

در طیفهای آئین نامه زلزله ایران، طول ناحیه شتاب ثابت (در ناحیه پریودهای کوچک) برای گروههای اول تا چهارم خاک به ترتیب برابر $0/4$, $0/5$, $0/7$ و $0/10$ ثانیه در نظر گرفته شده است که به نظر می آید کاهش در طول ناحیه شتاب ثابت برای گروه دوم تا چهارم خاکها ضروری باشد. علاوه بر آن، از مقایسه طیفها نتیجه می شود که در ناحیه شتاب ثابت آئین نامه، تا حدود پریود $1/35$ ثانیه، آئین نامه شتاب کمتری را نسبت به طیفهای غیرارتجاعی تشدید شتاب به دست می دهد و بویژه برای ضرایب نرمی 2 تا 4 این اختلاف زیاد است. برای آنکه طیف آئین نامه بالاتر از طیفهای غیرارتجاعی به دست آمده با ضرایب نرمی 6 تا 20 قرار گیرد، باید مقدار تشدید شتاب در طیف پیشنهادی آئین نامه در ناحیه ثابت آن حدود $1/4$ برابر برای طراحی ساختمان فولادی و تا $1/2$ برابر برای طراحی ساختمان بتنی به همراه دیوار برشی شود. در ناحیه نزولی طیف تشدید شتاب آئین نامه، طیف آئین نامه مقدار بسیار بیشتری را نسبت به طیفهای غیرارتجاعی تشدید شتاب به دست آمده

پریود حدود ۳۵/۰ ثانیه به بالا طیف آیین نامه
محافظه کارانه است.

۸- به نظر می آید که ساختمانهای یک تاسه طبقه (پریود
۱/۰ ثانیه تا ۲۳/۰ ثانیه) که مطابق ضوابط آیین نامه ایران
طراحی شوند اینمی لازم را در برابر زلزله ندارند.

سرعت و بخصوص جابه جایی بسیار کوچکتر از
مقادیر نظیر جدول محرز می باشند.

۳- رفتار خاکهای نوع ۱ و ۲ شبیه است و طیفهای شتاب
ارتجاعی و غیر ارجاعی در این دونوع خاک بسیار به
یکدیگر نزدیک هستند.

۴- خاک نوع ۴ دارای متفاوت ترین طیف تشدید شتاب
نسبت به سایر خاکها است و برای طیف شتاب در هر
دو حالت ارجاعی و غیر ارجاعی مقادیر بیشتری
نسبت به سایر خاکهای بخصوص برای شتاب در راستای
قائم می دهد.

۵- در مقایسه با طیفهای ارجاعی تشدید شتاب سید،
طیفهای ایران بجز در گروه دوم خاک، در پریودهای
کوچکتر مقدار اوچ بیشتری نسبت به طیفهای متناظر
سید دارد؛ ولی از پریود حدود ۳/۰ ثانیه به بعد طیفهای
ارتجاعی تشدید شتاب ایران پایین تراز طیفهای سید
بوده و برخلاف طیفهای ارجاعی تشدید شتاب سید
که در پریودهای بالا به سمت صفر میل نمی کنند،
طیفهای ایران تقریباً از پریود ۲ ثانیه به بعد به صفر
میل کرده و مقدار ناچیزی دارند.

۶- اگر طول ناحیه شتاب ثابت در آیین نامه حدود ۳/۰ ثانیه
باشد انطباق بهتری با شکل طیفهای غیر ارجاعی
شتاب حاصل می شود؛ بنابراین کاهش در طول ناحیه
شتاب ثابت برای همه گروههای خاک ضروری
می نماید.

۷- برای آنکه طیف آیین نامه بالا تراز طیفهای
غیر ارجاعی به دست آمده با ضرایب نرمی ۶ تا
۲۰ قرار گیرد باید مقدار طیف شتاب پیشنهادی آیین نامه در
ناحیه ثابت آن حدود ۱/۴ برابر شود. علاوه بر آن، از

۱۰- مراجع

- ۱- مقدم، حسن. (۱۳۸۱). مهندسی زلزله - مبانی و کاربرد. (چاپ اول). تهران: انتشارات فراهنگ.
2. Newmark, N. M., Hall, W.J. (1982). *Earthquake spectra and design*. Earthquake Engineering Research Center, Berkeley, California.
3. Naeim, F.(1989).*The seismic design hand book (First edition)*. Van Nostrand Reinhold.
- ۴- رمضانی، حمید رضا. (۱۳۷۶). داده های پایه شتابنگاشتهای شبکه شتابنگاری کشور. نشریه شماره ۲۵۶. تهران: مرکز تحقیقات ساختمان و مسکن.
5. Hudson, D.E. (1979). *Reading and interpreting strong motion accelerogram*. Earthquake Eng. Research Institute, Berkeley, California.
6. Erdic, M. Kubin, J. (1984). A procedure for the acceierogram processing". *Proc. of eighth world conference on earthquake engineering*, 2, 135-142
- ۷- کمیته بازنگری دائمی آیین نامه طراحی ساختمانها در برابر زلزله (۱۳۷۸). آیین نامه طراحی ساختمانها در برابر زلزله (ویرایش ۲). تهران: مرکز تحقیقات ساختمان و مسکن.
8. Paz, M. (1980). *Structural dynamics : theory and computation*. Vannostrand Reinhold : New York.◀

پیوست ۱: مقادیر به دست آمده برای حدود فیلتر میان گذر بر مبنای FFT

۱۰۵

| حدوده | نگاشت | حدوده | نگاشت | حدوده | نگاشت | حدوده | نگاشت |
|---------|------------|---------|-------------|--------|-------------|--------|------------|
| ۰/۱-۲۵ | ۱۳۸۲-۶.۰۰۱ | ۰/۸-۲۰ | ۱۴۹۲-۱۶.۰۰۲ | ۰/۲-۳۰ | ۱۲۳۳-۲.۰۰۳ | ۰/۶-۲۰ | ۱۰۳۴-۲.۰۰۱ |
| ۰/۲-۲۵ | ۱۳۸۲-۶.۰۰۲ | ۰/۵-۳۰ | ۱۴۹۲-۱۶.۰۰۳ | ۱/۷-۳۵ | ۱۲۳۳-۳.۰۰۱ | ۰/۵-۲۰ | ۱۰۳۴-۲.۰۰۲ |
| ۰/۳۰-۲۵ | ۱۳۸۲-۶.۰۰۳ | ۱/۰-۲۵ | ۱۴۹۲-۶.۰۰۱ | ۰/۷-۳۵ | ۱۲۳۳-۳.۰۰۲ | ۰/۹-۳۰ | ۱۰۳۴-۲.۰۰۳ |
| ۰/۳-۲۵ | ۱۳۸۲-۷.۰۰۱ | ۰/۴-۳۰ | ۱۴۹۲-۶.۰۰۲ | ۰/۳-۳۵ | ۱۲۳۳-۳.۰۰۳ | ۰/۸-۳۰ | ۱۰۸۰-۸.۰۰۱ |
| ۰/۳-۲۵ | ۱۳۸۲-۷.۰۰۲ | ۰/۳-۳۰ | ۱۴۹۲-۶.۰۰۳ | ۰/۹-۳۰ | ۱۲۴۰-۶.۰۰۱ | ۰/۴-۳۰ | ۱۰۸۰-۸.۰۰۲ |
| ۰/۶-۲۵ | ۱۳۸۲-۷.۰۰۳ | ۰/۸-۳۰ | ۱۵۲۳-۲۸.۰۰۱ | ۰/۲-۳۰ | ۱۲۴۰-۶.۰۰۲ | ۱/۰-۳۰ | ۱۰۸۰-۸.۰۰۳ |
| ۰/۲۵-۲۵ | ۱۴۱۸.۰۰۱ | ۰/۶-۳۰ | ۱۵۲۳-۲۸.۰۰۲ | ۰/۲-۳۰ | ۱۲۴۰-۶.۰۰۳ | ۰/۹-۲۰ | ۱۱۶۴-۲.۰۰۱ |
| ۰/۲-۲۵ | ۱۴۱۸.۰۰۲ | ۰/۷-۳۰ | ۱۵۲۳-۲۸.۰۰۳ | ۰/۳-۲۰ | ۱۴۲۰-۴.۰۰۱ | ۱/۰-۲۰ | ۱۱۶۴-۲.۰۰۲ |
| ۰/۲-۲۵ | ۱۴۱۸.۰۰۳ | ۰/۷۵-۲۵ | ۱۰۰۴-۱.۰۰۱ | ۰/۳-۲۰ | ۱۴۲۰-۴.۰۰۳ | ۱/۰-۳۵ | ۱۲۰۸.۰۰۱ |
| ۰/۱-۲۵ | ۱۴۱۹-۱.۰۰۱ | ۰/۳-۲۵ | ۱۰۰۴-۱.۰۰۲ | ۰/۳-۲۰ | ۱۴۲۰-۶.۰۰۱ | ۰/۷-۳۰ | ۱۲۰۸.۰۰۲ |
| ۰/۱-۲۵ | ۱۴۱۹-۱.۰۰۲ | ۰/۲-۲۵ | ۱۲۴۰-۲.۰۰۱ | ۰/۴-۳۰ | ۱۴۲۰-۶.۰۰۲ | ۰/۷-۳۰ | ۱۲۰۸.۰۰۳ |
| ۰/۱۵-۲۵ | ۱۴۱۹-۱.۰۰۳ | ۰/۱-۲۵ | ۱۲۴۰-۲.۰۰۲ | ۰/۴-۳۰ | ۱۴۲۰-۶.۰۰۳ | ۱/۰-۳۰ | ۱۲۳۳-۲.۰۰۱ |
| | | ۰/۱۵-۲۵ | ۱۲۴۰-۲.۰۰۳ | ۰/۷-۲۰ | ۱۴۹۲-۱۶.۰۰۱ | ۰/۷-۳۰ | ۱۲۳۳-۲.۰۰۲ |

۱۰۵

| حدوده | نگاشت | حدوده | نگاشت | حدوده | نگاشت | حدوده | نگاشت |
|--------|------------|--------|-------------|--------|------------|--------|------------|
| ۰/۳-۲۵ | ۱۳۹۷-۳.۰۰۱ | ۱/۰-۳۰ | ۱۵۰۲-۴.۰۰۳ | ۰/۳-۲۵ | ۱۳۷۷-۲.۰۰۲ | ۰/۵-۲۰ | ۱۲۵۸-۲.۰۰۱ |
| ۰/۲-۲۵ | ۱۳۹۷-۳.۰۰۲ | ۰/۱-۳۰ | ۱۵۷۱-۳۳.۰۰۱ | ۰/۲-۲۵ | ۱۳۷۷-۲.۰۰۳ | ۰/۲-۲۵ | ۱۲۵۸-۲.۰۰۲ |
| ۰/۲-۲۵ | ۱۳۹۷-۳.۰۰۳ | ۰/۱-۳۰ | ۱۵۷۱-۳۳.۰۰۲ | ۱/۰-۲۰ | ۱۴۹۳-۲.۰۰۱ | ۰/۱-۲۵ | ۱۲۵۸-۲.۰۰۳ |
| | | ۰/۱-۳۰ | ۱۵۷۱-۳۳.۰۰۳ | ۰/۶-۲۰ | ۱۴۹۳-۲.۰۰۲ | ۰/۶-۳۰ | ۱۳۶۰.۰۰۱ |
| | | ۰/۱-۳۰ | ۱۵۷۱-۸.۰۰۱ | ۰/۳-۳۰ | ۱۴۹۳-۲.۰۰۳ | ۰/۶-۳۰ | ۱۳۶۰.۰۰۲ |
| | | ۰/۷-۳۰ | ۱۵۷۱-۸.۰۰۲ | ۰/۵-۳۰ | ۱۵۰۱-۷.۰۰۱ | ۰/۹-۳۰ | ۱۳۶۰.۰۰۳ |
| | | ۰/۱-۳۰ | ۱۵۷۱-۸.۰۰۳ | ۱/۰-۳۰ | ۱۵۰۱-۷.۰۰۲ | ۰/۴-۳۰ | ۱۳۷۷-۱.۰۰۱ |
| | | ۰/۱-۳۰ | ۱۵۸۵-۱.۰۰۱ | ۱/۰-۳۰ | ۱۵۰۱-۷.۰۰۳ | ۰/۴-۳۰ | ۱۳۷۷-۱.۰۰۲ |
| | | ۰/۱-۳۰ | ۱۵۸۵-۱.۰۰۲ | ۱/۰-۳۰ | ۱۵۰۲-۴.۰۰۱ | ۰/۶-۳۰ | ۱۳۷۷-۱.۰۰۳ |
| | | ۰/۱-۳۰ | ۱۵۸۵-۱.۰۰۳ | ۱/۰-۳۰ | ۱۵۰۲-۴.۰۰۲ | ۰/۱-۳۰ | ۱۳۷۷-۲.۰۰۱ |

گروه ۳

| محدوده | نگاشت | محدوده | نگاشت | محدوده | نگاشت | محدوده | نگاشت |
|---------|------------|---------|------------|---------|------------|--------|-------------|
| ۰/۱۵-۲۵ | ۱۱۸۳-۱.۰۰۲ | ۰/۴-۳۰ | ۱۳۸۰-۱.۰۰۲ | ۰/۱-۳۰ | ۱۲۱۴-۱.۰۰۳ | ۰/۲-۲۰ | ۱۰۲۴.۰۰۱ |
| ۰/۲-۲۵ | ۱۱۸۳-۱.۰۰۳ | ۰/۱-۳۰ | ۱۳۸۰-۱.۰۰۳ | ۰/۱-۳۰ | ۱۲۲۶-۲.۰۰۱ | ۰/۲-۳۰ | ۱۰۲۴.۰۰۲ |
| ۰/۲-۲۵ | ۱۱۸۳-۱.۰۰۱ | ۰/۲-۳۰ | ۱۳۸۹-۱.۰۰۱ | ۰/۱-۳۰ | ۱۲۲۶-۲.۰۰۲ | ۰/۲-۳۰ | ۱۰۲۴.۰۰۳ |
| ۰/۲-۲۵ | ۱۱۸۳-۱.۰۰۲ | ۰/۲-۳۰ | ۱۳۸۹-۱.۰۰۲ | ۰/۳-۳۰ | ۱۲۲۶-۲.۰۰۳ | ۰/۸-۲۰ | ۱۱۳۴-۲.۰۰۱ |
| ۰/۲-۲۵ | ۱۱۸۳-۱.۰۰۳ | ۰/۲-۳۰ | ۱۳۸۹-۰.۰۰۱ | ۰/۳۵-۲۰ | ۱۳۰۵.۰۰۱ | ۰/۹-۲۰ | ۱۱۳۴-۲.۰۰۲ |
| ۰/۱۰-۲۵ | ۱۲۲۴-۲.۰۰۱ | ۰/۲-۳۰ | ۱۳۸۹-۰.۰۰۲ | ۰/۴-۲۰ | ۱۳۰۵.۰۰۲ | ۰/۶-۲۰ | ۱۱۳۴-۲.۰۰۳ |
| ۰/۱۰-۲۵ | ۱۲۲۴-۲.۰۰۲ | ۰/۳-۳۰ | ۱۳۸۹-۰.۰۰۳ | ۰/۴-۳۰ | ۱۳۰۵.۰۰۳ | ۰/۳-۳۰ | ۱۱۴۳-۲.۰۰۱ |
| ۰/۳۵-۲۵ | ۱۲۲۴-۲.۰۰۳ | ۰/۵-۲۰ | ۱۶۹۳-۱.۰۰۱ | ۰/۱۰-۲۰ | ۱۳۳۲-۴.۰۰۱ | ۰/۳-۳۰ | ۱۱۴۳-۲.۰۰۲ |
| ۰/۰۷-۲۵ | ۱۳۶۴.۰۰۱ | ۰/۷-۲۰ | ۱۶۹۳-۱.۰۰۲ | ۰/۸-۲۰ | ۱۳۳۲-۴.۰۰۲ | ۰/۳-۳۰ | ۱۱۴۳-۲.۰۰۳ |
| ۰/۰۵-۲۵ | ۱۳۶۴.۰۰۲ | ۰/۲-۳۰ | ۱۶۹۳-۱.۰۰۳ | ۰/۷-۲۰ | ۱۳۳۲-۴.۰۰۳ | ۰/۴-۲۵ | ۱۱۷۶-۲۹.۰۰۱ |
| ۰/۰۷-۲۵ | ۱۳۶۴.۰۰۳ | ۰/۱-۲۰ | ۱۷۰۱-۱.۰۰۱ | ۰/۴-۳۰ | ۱۳۴۱-۱.۰۰۱ | ۰/۴-۳۰ | ۱۱۷۶-۲۹.۰۰۲ |
| | | ۰/۱-۲۰ | ۱۷۰۱-۱.۰۰۲ | ۰/۹-۳۰ | ۱۳۴۱-۱.۰۰۲ | ۰/۴-۳۰ | ۱۱۷۶-۲۹.۰۰۳ |
| | | ۰/۱-۳۰ | ۱۷۰۱-۱.۰۰۳ | ۰/۴-۳۰ | ۱۳۴۱-۱.۰۰۳ | ۰/۴-۳۰ | ۱۱۸۳-۸.۰۰۱ |
| | | ۰/۰۵-۲۵ | ۱۱۷۶-۰.۰۰۱ | ۰/۴-۲۰ | ۱۳۴۶-۱.۰۰۱ | ۰/۳-۳۰ | ۱۱۸۳-۸.۰۰۲ |
| | | ۰/۱-۲۵ | ۱۱۷۶-۰.۰۰۱ | ۰/۵-۲۰ | ۱۳۴۶-۱.۰۰۲ | ۰/۶-۳۰ | ۱۱۸۳-۸.۰۰۳ |
| | | ۰/۰۷-۲۵ | ۱۱۷۶-۰.۰۰۱ | ۰/۴-۳۰ | ۱۳۴۶-۱.۰۰۳ | ۰/۲-۲۰ | ۱۲۱۴-۱.۰۰۱ |
| | | ۰/۲-۲۵ | ۱۱۸۳-۱.۰۰۱ | ۰/۱-۳۰ | ۱۳۸۰-۱.۰۰۱ | ۰/۱-۳۰ | ۱۲۱۴-۱.۰۰۲ |

گروه ۴

| محدوده | نگاشت | محدوده | نگاشت | محدوده | نگاشت | محدوده | نگاشت |
|---------|----------|--------|------------|--------|------------|--------|------------|
| ۰/۱-۲۵ | ۱۱۲۶.۰۰۱ | ۰/۳-۲۵ | ۱۰۸۱-۱.۰۰۱ | ۰/۱-۲۰ | ۱۰۵۱-۱.۰۰۱ | ۰/۵-۲۰ | ۱۰۰۶-۱.۰۰۱ |
| ۰/۰۵-۲۵ | ۱۱۲۶.۰۰۲ | ۰/۲-۳۰ | ۱۰۸۱-۱.۰۰۲ | ۰/۳-۲۰ | ۱۰۵۱-۱.۰۰۲ | ۰/۵-۲۰ | ۱۰۰۶-۱.۰۰۲ |
| ۰/۲۵-۲۵ | ۱۱۲۶.۰۰۳ | ۰/۴-۳۰ | ۱۰۸۱-۱.۰۰۳ | ۰/۲-۲۵ | ۱۰۵۱-۱.۰۰۳ | ۰/۳-۲۵ | ۱۰۰۶-۱.۰۰۳ |
| ۰/۱۰-۲۵ | ۱۲۹۹.۰۰۱ | ۰/۳-۱۰ | ۱۳۵۹.۰۰۱ | ۰/۲-۲۵ | ۱۰۵۸.۰۰۱ | ۰/۳-۲۰ | ۱۰۰۰-۱.۰۰۱ |
| ۰/۱۰-۲۵ | ۱۲۹۹.۰۰۲ | ۰/۵-۱۰ | ۱۳۵۹.۰۰۲ | ۰/۲-۲۵ | ۱۰۵۸.۰۰۲ | ۰/۳-۲۰ | ۱۰۰۰-۱.۰۰۲ |
| ۰/۱۰-۲۵ | ۱۲۹۹.۰۰۳ | ۰/۴-۳۰ | ۱۳۵۹.۰۰۳ | ۰/۲-۳۰ | ۱۰۵۸.۰۰۳ | ۰/۳-۲۰ | ۱۰۰۰-۱.۰۰۳ |

گروه

| محدوده | نگاشت | محدوده | نگاشت | محدوده | نگاشت | محدوده | نگاشت |
|---------|-------------|--------|--------------|--------|--------------|--------|--------------|
| ۰/۲-۳۰ | ۱۶۳۸-۱..۰۱ | ۰/۲-۳۰ | ۱۴۰۶..۰۰۲ | ۰/۲-۳۰ | ۱۰۸۴-۴۸..۰۰۳ | ۰/۳-۲۰ | ۱۰۲۲-۲..۰۱ |
| ۰/۲-۳۰ | ۱۶۳۸-۱..۰۲ | ۰/۳-۳۰ | ۱۴۰۶..۰۰۳ | ۰/۱-۳۰ | ۱۰۹۸-۲..۰۰۱ | ۰/۲-۲۵ | ۱۰۲۲-۲..۰۰۲ |
| ۰/۱-۳۰ | ۱۶۳۸-۱..۰۳ | ۰/۱-۳۰ | ۱۴۹۰-۲..۰۰۱ | ۰/۱-۳۰ | ۱۰۹۸-۲..۰۰۲ | ۰/۲-۲۵ | ۱۰۲۲-۲..۰۰۳ |
| ۰/۴-۲۰ | ۱۶۰۹-۲..۰۰۱ | ۰/۴-۳۰ | ۱۴۹۰-۲..۰۰۲ | ۰/۲-۳۰ | ۱۰۹۸-۲..۰۰۳ | ۰/۳-۳۰ | ۱۰۴۷-۸..۰۰۱ |
| ۰/۳-۲۰ | ۱۶۰۹-۲..۰۰۲ | ۰/۲-۳۰ | ۱۴۹۰-۲..۰۰۳ | ۰/۲-۳۰ | ۱۱۳۶-۳..۰۰۱ | ۰/۲-۳۰ | ۱۰۴۷-۸..۰۰۲ |
| ۰/۲-۲۵ | ۱۶۰۹-۲..۰۰۳ | ۱/۰-۳۰ | ۱۰۲۴-۱۳..۰۰۱ | ۰/۲-۲۵ | ۱۱۳۶-۳..۰۰۲ | ۰/۲-۳۰ | ۱۰۴۷-۸..۰۰۳ |
| ۰/۱۰-۲۵ | ۱۰۴۳..۰۱ | ۱/۰-۳۰ | ۱۰۲۴-۱۳..۰۰۲ | ۰/۲-۳۰ | ۱۱۳۶-۳..۰۰۳ | ۰/۱-۳۰ | ۱۰۴۷-۸..۰۰۱ |
| ۰/۱۰-۲۵ | ۱۰۴۳..۰۰۲ | ۱/۰-۳۰ | ۱۰۲۴-۱۳..۰۰۳ | ۰/۴-۳۰ | ۱۱۳۹..۰۰۱ | ۰/۳-۳۰ | ۱۰۴۷-۸..۰۰۲ |
| ۰/۳-۲۵ | ۱۰۴۳..۰۰۳ | ۱/۰-۳۰ | ۱۰۲۸-۱۰..۰۰۱ | ۰/۶-۳۰ | ۱۱۳۹..۰۰۲ | ۰/۱-۳۰ | ۱۰۴۷-۸..۰۰۳ |
| ۰/۱۰-۲۵ | ۱۰۸۳-۲..۰۰۱ | ۱/۰-۳۰ | ۱۰۲۸-۱۰..۰۰۲ | ۰/۳-۲۰ | ۱۱۳۹..۰۰۳ | ۰/۱-۳۰ | ۱۰۷۶-۴..۰۰۱ |
| ۰/۲-۲۵ | ۱۰۸۳-۲..۰۰۲ | ۱/۰-۳۰ | ۱۰۲۸-۱۰..۰۰۳ | ۰/۱-۲۰ | ۱۱۷۴..۰۰۱ | ۰/۲-۳۰ | ۱۰۷۶-۴..۰۰۲ |
| ۰/۲-۲۵ | ۱۰۸۳-۲..۰۰۳ | ۱/۰-۳۰ | ۱۰۲۸-۲۶..۰۰۱ | ۰/۳-۲۰ | ۱۱۷۴..۰۰۲ | ۰/۱-۳۰ | ۱۰۷۶-۴..۰۰۳ |
| ۰/۳۵-۲۵ | ۱۰۸۴-۱..۰۱ | ۱/۰-۳۰ | ۱۰۲۸-۲۶..۰۰۲ | ۰/۳-۲۰ | ۱۱۷۴..۰۰۳ | ۰/۱-۳۰ | ۱۰۸۲-۱..۰۱ |
| ۰/۲۵-۲۵ | ۱۰۸۴-۱..۰۰۲ | ۱/۰-۳۰ | ۱۰۲۸-۲۶..۰۰۳ | ۰/۶-۲۰ | ۱۳۰۳..۰۰۱ | ۰/۱-۳۰ | ۱۰۸۲-۱..۰۰۲ |
| ۰/۲-۲۵ | ۱۰۸۴-۱..۰۰۳ | ۱/۰-۳۰ | ۱۰۲۸-۳..۰۰۱ | ۰/۶-۲۰ | ۱۳۰۳..۰۰۲ | ۰/۱-۳۰ | ۱۰۸۲-۱..۰۰۳ |
| ۰/۲-۲۵ | ۱۱۵۰..۰۱ | ۱/۰-۳۰ | ۱۰۲۸-۳..۰۰۲ | ۰/۹-۲۰ | ۱۳۰۳..۰۰۳ | ۰/۷-۳۰ | ۱۰۸۴-۲۱..۰۰۱ |
| ۰/۴-۲۵ | ۱۱۵۰..۰۰۲ | ۱/۰-۳۰ | ۱۰۲۸-۳..۰۰۳ | ۰/۳-۲۰ | ۱۳۵۳-۱..۰۰۱ | ۰/۴-۳۰ | ۱۰۸۴-۲۱..۰۰۲ |
| ۰/۴-۲۵ | ۱۱۵۰..۰۰۳ | ۰/۸-۳۰ | ۱۰۶۰-۱..۰۰۱ | ۰/۳-۲۰ | ۱۳۵۳-۱..۰۰۲ | ۰/۳-۳۰ | ۱۰۸۴-۲۱..۰۰۳ |
| ۰/۷-۲۵ | ۱۳۵۷-۱..۰۰۱ | ۰/۸-۳۰ | ۱۰۶۰-۱..۰۰۲ | ۰/۵-۳۰ | ۱۳۵۳-۱..۰۰۳ | ۰/۳-۳۰ | ۱۰۸۴-۳۴..۰۰۱ |
| ۰/۱-۲۵ | ۱۳۵۷-۱..۰۰۲ | ۰/۱-۳۰ | ۱۰۶۰-۱..۰۰۳ | ۰/۵-۲۰ | ۱۳۵۴..۰۰۱ | ۰/۱-۲۵ | ۱۰۸۴-۳۴..۰۰۲ |
| ۰/۲۵-۲۵ | ۱۳۵۷-۱..۰۰۳ | ۰/۱-۳۰ | ۱۰۸۹-۹..۰۰۱ | ۰/۴-۲۰ | ۱۳۵۴..۰۰۲ | ۰/۶-۳۰ | ۱۰۸۴-۳۴..۰۰۳ |
| ۰/۱۰-۲۵ | ۱۴۹۰-۹..۰۰۱ | ۰/۱-۳۰ | ۱۰۸۹-۹..۰۰۲ | ۰/۴-۳۰ | ۱۳۵۴..۰۰۳ | ۰/۳-۳۰ | ۱۰۸۴-۴..۰۰۱ |
| ۰/۱۰-۲۵ | ۱۴۹۰-۹..۰۰۲ | ۰/۲-۳۰ | ۱۰۸۹-۹..۰۰۳ | ۰/۴-۲ | ۱۳۶۱..۰۰۱ | ۰/۲-۲۵ | ۱۰۸۴-۴..۰۰۲ |
| ۰/۶-۲۵ | ۱۴۹۰-۹..۰۰۳ | ۰/۱-۳۰ | ۱۰۹۸-۱۰..۰۰۱ | ۰/۴-۲۰ | ۱۳۶۱..۰۰۲ | ۰/۷-۳۰ | ۱۰۸۴-۴..۰۰۳ |
| | | ۰/۱-۳۰ | ۱۰۹۸-۱۰..۰۰۲ | ۰/۴-۲۵ | ۱۳۶۱..۰۰۳ | ۰/۳-۲۵ | ۱۰۸۴-۴۷..۰۰۱ |
| | | ۰/۴-۳۰ | ۱۰۹۸-۱۰..۰۰۳ | ۰/۲-۳۰ | ۱۳۶۲-۱..۰۰۱ | ۰/۱-۲۵ | ۱۰۸۴-۴۷..۰۰۲ |
| | | ۰/۱-۳۰ | ۱۰۹۸-۱۱..۰۰۱ | ۰/۳-۳۰ | ۱۳۶۲-۱..۰۰۲ | ۰/۳-۳۰ | ۱۰۸۴-۴۷..۰۰۳ |
| | | ۰/۲-۳۰ | ۱۰۹۸-۱۱..۰۰۲ | ۰/۲-۳۰ | ۱۳۶۲-۱..۰۰۳ | ۰/۲-۳۰ | ۱۰۸۴-۴۸..۰۰۱ |
| | | ۰/۱-۳۰ | ۱۰۹۸-۱۱..۰۰۳ | ۰/۲-۳۰ | ۱۴۰۶..۰۰۱ | ۰/۲-۳۰ | ۱۰۸۴-۴۸..۰۰۲ |